

طراحی سازه‌های فولادی ۱

## فصل پنجم: طراحی اعضای خمشی

کتاب مرجع: طراحی سازه‌های فولادی به روش حالات حدی؛ جلد پنجم؛ ازهربی. م. و همکاران



## عنوان مطالب

- چند نمونه از اعضای خمثی
- کلیات
- ناپایداری موضعی ورق‌ها
- تئوری خمث پلاستیک
- کمانش پیچشی جانبی تیرها
- طراحی مقاطع فولادی تحت خمث
- تقویت بال تیرهای I شکل
- کنترل برش
- کنترل تغییر مکان (افتدگی یا خیز) تیرها
- کنترلهای جان و بال تیرها تحت اثر بار مرکز
- تیرهای تحت اثر خمث دو محوره

تیرها به عنوان اعضای اصلی سقف‌ها و قاب‌های ساختمانی درون سقف صلب سازه فقط متحمل لنگرهای خمثی و نیروهای برشی هستند و همچنین در ماشین‌آلات نیز می‌توانند نقش عمدت‌ای را در تحمل بارها ایفا نمایند. براساس اصول علم مکانیک جامدات، لنگرهای خمثی در تارهای طولی تیر تنש‌های محوری فشاری و کششی ایجاد می‌کنند. از طرفی نیروهای برشی در نقاط مختلف مقطع تولید تنش‌های برشی می‌کند که عمدتاً در مقایسه با تنش‌های ناشی از لنگر خمثی تعیین کننده نیستند. از این‌رو در بسیاری از حالات، تیرهای فولادی ابتدا براساس خمث طراحی شده و پس از آن تنش‌های برشی در آن کنترل می‌شود. معمولاً در تیرهایی که دهانه کوچکی دارند و تحت نیروی برشی قابل توجهی قرار می‌گیرند، روند مذکور می‌تواند به عدم ارضای کنترل برش متنه گردد که در این صورت تقویت تیر یا افزایش ابعاد آن باید توسط طراح انجام گیرد.

در اغلب سازه‌ها تیرها، وظیفه انتقال بارهای ثقلی وارد بر سقف‌ها را به ستون‌های سازه بر عهده دارند. علاوه بر آن، در قاب‌های خمثی تیرها به عنوان یکی از اعضای باربر جانبی سازه تحت اثر لنگرهای و نیروهای برشی ناشی از بارهای جانبی نیز قرار می‌گیرند. بدین ترتیب،

تیرهای موجود در قاب‌های ساختمانی را می‌توان به دو دسته تیرچه‌ها و شاه‌تیرهای اصلی تقسیم‌بندی نمود.

تیرچه‌ها صرفاً تحت بارهای نقلی فرار گرفته و معمولاً عرض باربر آن‌ها کوچک است. در مقابل، تیرهای اصلی دارای سطح باربر بزرگی بوده و ممکن است تحت اثر بارهای جانسی نیز فرار بگیرند.

طراحی سازه‌های فولادی ۱

طراحی اعضای خمشی

## چند نمونه از اعضای خمشی



لایه‌های سقف یک سوله

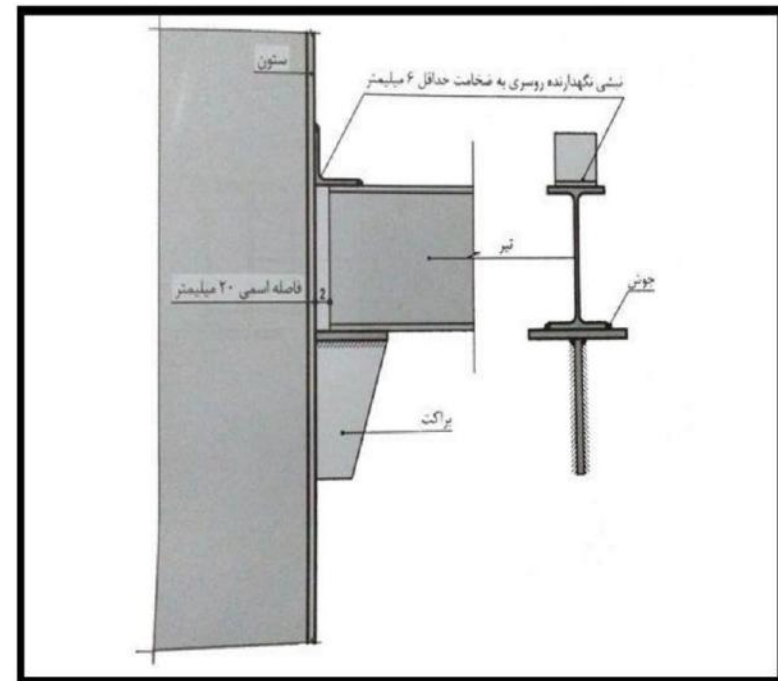


تیرهای فولادی در یک ساختمان

## چند نمونه از اتصالات اعضای خمشی



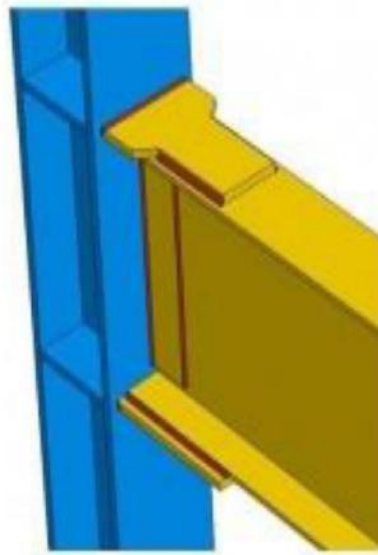
اتصال ساده با نبشی جان



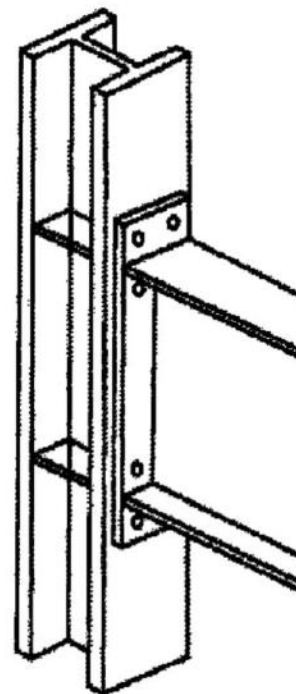
اتصال ساده با ورق نشیمن



## چند نمونه از اتصالات اعضای خمشی

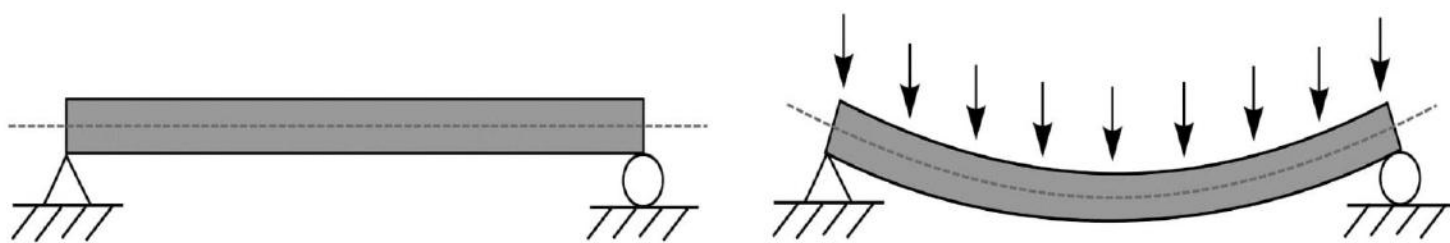


اتصال گیردار با ورق روسی و زیررسی



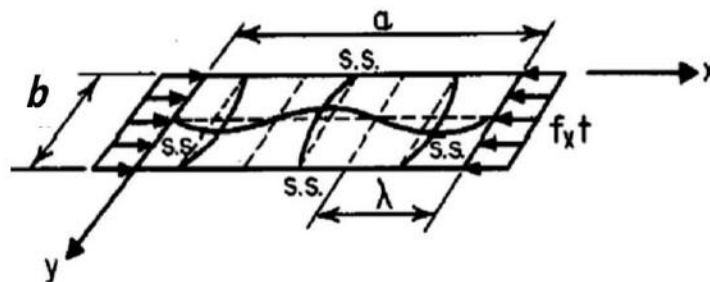
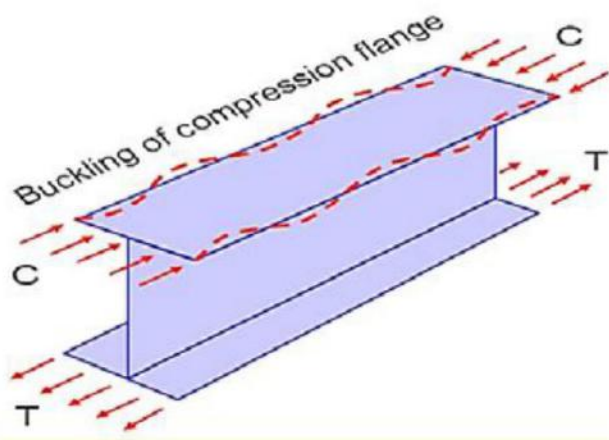
اتصال گیردار با ورق انتهایی

## کلیات



ابتدا طراحی بر اساس خمش و سپس کنترل تنش‌های برشی، تغییرمکان‌ها، اثر بارهای متمرکز و ...

## ناپایداری موضعی ورق‌ها

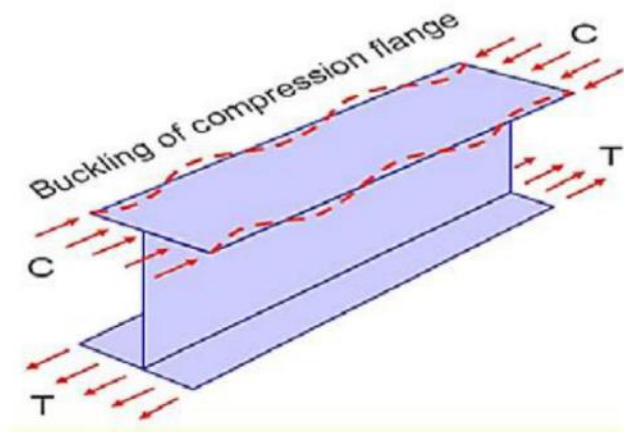


$$F_{cr} = \frac{\pi^2 E k}{12(1 - \nu^2) \left(\frac{b}{t}\right)^2}$$

$k$  : ضریب کمانش ورق (وابسته به شرایط مرزی لبه‌های ورق و توزیع تنش‌های وارد)

## ناپایداری موضعی ورق‌ها

$$F_{cr} = \frac{\pi^2 E k}{12(1 - \nu^2) \left(\frac{b}{t}\right)^2} \geq F.S F_y \quad \rightarrow \quad \frac{b}{t} \leq \alpha \sqrt{\frac{E}{F_y}}$$



: ضریب بدون بعد وابسته به ضریب کمانش ورق



## نایایداری موضعی ورق‌ها

**۱- مقاطع فشرده<sup>۱</sup>:** ورق‌های تشكیل‌دهنده این گونه مقاطع تحت تنشی‌های فشاری می‌توانند کرنش‌هایی تا چند برابر کرنش حد تسلیم را تحمل کنند. به بیان دیگر، این مقاطع توانایی ورود به ناحیه غیرالاستیک را دارا هستند و ظرفیت ورق بر مبنای تئوری پلاستیک نیز قابل بررسی است.

**۲- مقاطع غیرفشرده<sup>۲</sup>:** ورق‌های تشكیل‌دهنده این مقاطع تحت تنشی‌های فشاری در محدوده الاستیک رفتار می‌کنند و کرنش نقاط مختلف کمتر از کرنش حد تسلیم است. به بیان دیگر، این مقاطع توانایی ورود به ناحیه غیرالاستیک را ندارند و ظرفیت ورق بر مبنای تئوری الاستیک تعیین خواهد شد. جهت اطمینان از عدم رخ دادن نایایداری موضعی ورق، باید نسبت عرض به ضخامت ورق‌های غیرفشرده در رابطه (۴-۴) صدق کند.

**۳- مقاطع با اجزای لاغر<sup>۳</sup>:** ورق‌های تشكیل‌دهنده این مقاطع تحت تنشی‌های فشاری، پیش از رسیدن به ظرفیت الاستیک مقطع ممکن است دچار کمانش موضعی شوند، به همین دلیل باید ظرفیت محاسبه شده برای این ورق‌ها براساس تئوری الاستیک به دلیل احتمال کمانش موضعی کاهش یابد. در این مقاطع نسبت عرض به ضخامت ورق‌ها در رابطه (۵-۴) صدق می‌کند.

## نایابی موضعی ورق‌ها

انواع مقاطع از نظر نسبت عرض به ضخامت ورق

$$\frac{b}{t} \leq \lambda_p = \alpha_c \sqrt{\frac{E}{F_y}}$$

- مقاطع با اجزای **فسرده** (توانایی رسیدن به لنگر پلاستیک)

$$\lambda_p \leq \frac{b}{t} \leq \lambda_r = \alpha_{nc} \sqrt{\frac{E}{F_y}}$$

- مقاطع با اجزای **غیرفسرده** (عدم توانایی رسیدن تمام تارهای مقطع به تسلیم)

$$\frac{b}{t} > \lambda_r = \alpha_{nc} \sqrt{\frac{E}{F_y}}$$

- مقاطع با اجزای **لاغر** (امکان کمانش قبل از رسیدن هیچ تاری به تسلیم)

جدول ۴-۱- نسبت های بینا به ضخامت اجزای تحت فشار تقویت نشده در اعضای تحت اثر خمش

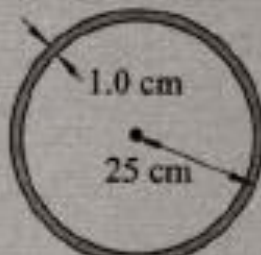
مثال	حداکثر نسبت بینا به ضخامت		نسبت بینا به ضخامت	شرح اجزا	$\frac{b}{t}$
	مقاطع $\lambda_{r,p}$	مقاطع $\lambda_{r,q}$			
	$\sqrt{\frac{E}{F_y}}$	$-/28\sqrt{\frac{E}{F_y}}$	$\frac{b}{t}$	بال های مقاطع I- شکل نورد شده، ناوادانی ها و سپری ها	۱
	$(1) \text{ و } (2)$ $-/95\sqrt{\frac{E K_c}{F_L}}$	$-/28\sqrt{\frac{E}{F_y}}$	$\frac{b}{t}$	بال های مقاطع آ- شکل ساخته شده از ورق با یک یا دو محور تقارن	۲
	$-/91\sqrt{\frac{E}{F_y}}$	$-/54\sqrt{\frac{E}{F_y}}$	$\frac{b}{t}$	ساق های تبشی های تک	۳
	$\sqrt{\frac{E}{F_y}}$	$-/28\sqrt{\frac{E}{F_y}}$	$\frac{b}{t}$	بال های کلیه مقاطع آ- شکل و ناوادانی تحت اثر خمش حول محور ضعیف	۴
	$1/52\sqrt{\frac{E}{F_y}}$	$-/84\sqrt{\frac{E}{F_y}}$	$\frac{d}{t}$	تیغه (جان) مقاطع سپری	۵
	$5/7\sqrt{\frac{E}{F_y}}$	$7/76\sqrt{\frac{E}{F_y}}$	$\frac{h}{t_w}$	جان مقاطع I- شکل با دو محور تقارن و جان مقاطع ناوادانی	۶

مثال	حداکثر نسبت پهنا به ضخامت		نسبت پهنا به ضخامت	شرح اجزا	ردیف
	مقاطع غیرفسرده $\lambda_p$	مقاطع فشرده $\lambda_p$			
	$\Delta/2 \cdot \sqrt{\frac{E}{F_y}}$	$\Delta/2 \cdot \sqrt{\frac{E}{F_y}} \left( \frac{h_c}{h_p} \sqrt{\frac{E}{F_y}} \left( \frac{M_p}{M_y} \right)^{1/4} \right)$	$\frac{h_c}{t_w}$	جان مقاطع آ-شکل با یک محور نقارن	۷
	$1/4 \cdot \sqrt{\frac{E}{F_y}}$	$1/12 \sqrt{\frac{E}{F_y}}$	$b/t$	بالهای مقاطع توxالی مستطیلی (HSS) شکل	۸
	$1/4 \cdot \sqrt{\frac{E}{F_y}}$	$1/12 \sqrt{\frac{E}{F_y}}$	$b/t$	ورق های پرشی و ورق های دیافراگم در حد فاصل خطوط جوش با پیچ	۹
	$\Delta/8 \cdot \sqrt{\frac{E}{F_y}}$	$2/42 \sqrt{\frac{E}{F_y}}$	$h/t$	جان های مقاطع توxالی مستطیل شکل (HSS) و جعبه ای	۱۰
	$1/31 \frac{E}{F_y}$	$1/0.8 \frac{E}{F_y}$	$D/t$	مقاطع توxالی دایره ای شکل	۱۱
	$1/44 \sqrt{\frac{E}{F_y}}$	$1/12 \sqrt{\frac{E}{F_y}}$	$b/t$	بال مقاطع قوطی ساخته شده از ورق	۱۲

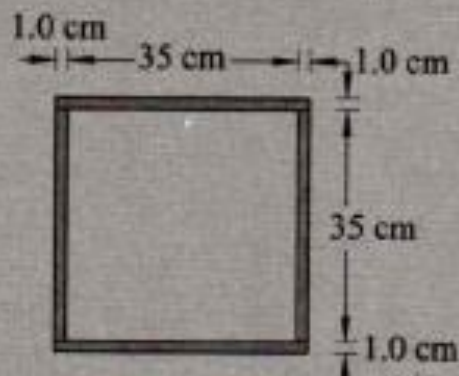
## مثال ۱-۴:

مشخص کنید مقاطع شکل ۱-۴ تحت اثر خمش از نظر پدیده کمانش موضعی جزء کدام دسته از مقاطع فشرده، غیرفشرده و یا مقاطع با اجزای لاغر قرار می‌گیرند.

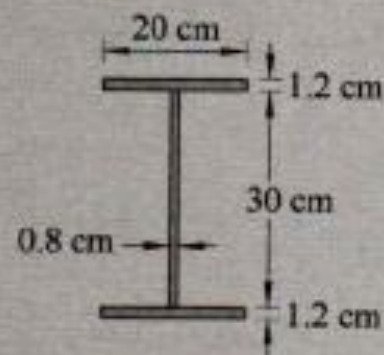
$$F_y = 240 \text{ kg/cm}^2, E = 2.0 \times 10^9 \text{ kg/cm}^2$$



(ب)



(ب)



(الف)

شکل ۱-۴ - مقاطع مثال ۱-۴

هل:

با توجه به جدول ۱-۴ می‌توان نوشت،

### مقطع شکل ۱-۴-الف

اگر خمس حول محوری قوی باشد براساس ردیف‌های ۲ و ۶ جدول ۱-۴،

$$\frac{b}{t} = \frac{0.5 b_f}{t_f} = \frac{10}{1/2} = 8/32 \leq 0/28 \sqrt{\frac{2/0.4 \times 1.6}{24..}} = 11/0.8 \rightarrow \text{بال فشرده است.}$$

$$\frac{h}{t} = \frac{30}{0.8} = 37/5 \leq 3/26 \sqrt{\frac{2/0.4 \times 1.6}{24..}} = 10.9/6 \rightarrow \text{جان فشرده است.}$$

با توجه به آن که بال و جان مقطع هر دو شرایط فشردگی رابطه (۳-۴) را دارا هستند، به شرط آن که اتصال بال به جان پیوسته باشد، مقطع فشرده است.

اگر خمس حول محور ضعیف باشد براساس ردیف ۴ جدول ۱-۴،

$$\frac{b}{t} = \frac{10}{1/2} = 8/32 \leq 0/28 \sqrt{\frac{2/0.4 \times 1.6}{24..}} = 11/0.8 \rightarrow \text{بال فشرده است.}$$

پس مقطع تحت خمس حول محور ضعیف نیز فشرده است.

### مقطع شکل ۱-۴-ب

براساس ردیف‌های ۱۲ و ۱۰ جدول ۱-۴،

$$\frac{b_f}{t_f} = \frac{35}{1} = 35 > 1/12 \sqrt{\frac{2/0.4 \times 1.0^6}{2400}} = 32/65 \rightarrow$$

بال فشرده نیست.

$$\frac{b}{t} = 35 \leq 1/49 \sqrt{\frac{2/0.4 \times 1.0^6}{2400}} = 43/44 \rightarrow$$

بال غیرفشرده است.

$$\frac{h}{t_w} = \frac{35}{1} = 35 \leq 2/42 \sqrt{\frac{2/0.4 \times 1.0^6}{2400}} = 70/55 \rightarrow$$

جان فشرده است.

از آن جایی بال شرایط فشردگی را ندارد، علی‌رغم فشرده بودن جان، مقطع غیرفشرده محسوب می‌شود.

### مقطع شکل ۱-۴-ب

براساس ردیف ۱۱ جدول ۱-۴،

$$\frac{D}{t} = \frac{50}{1} = 50 \leq 0.7 \times \frac{2/0.4 \times 1.0^6}{2400} = 59/5 \rightarrow$$

مقطع فشرده است.



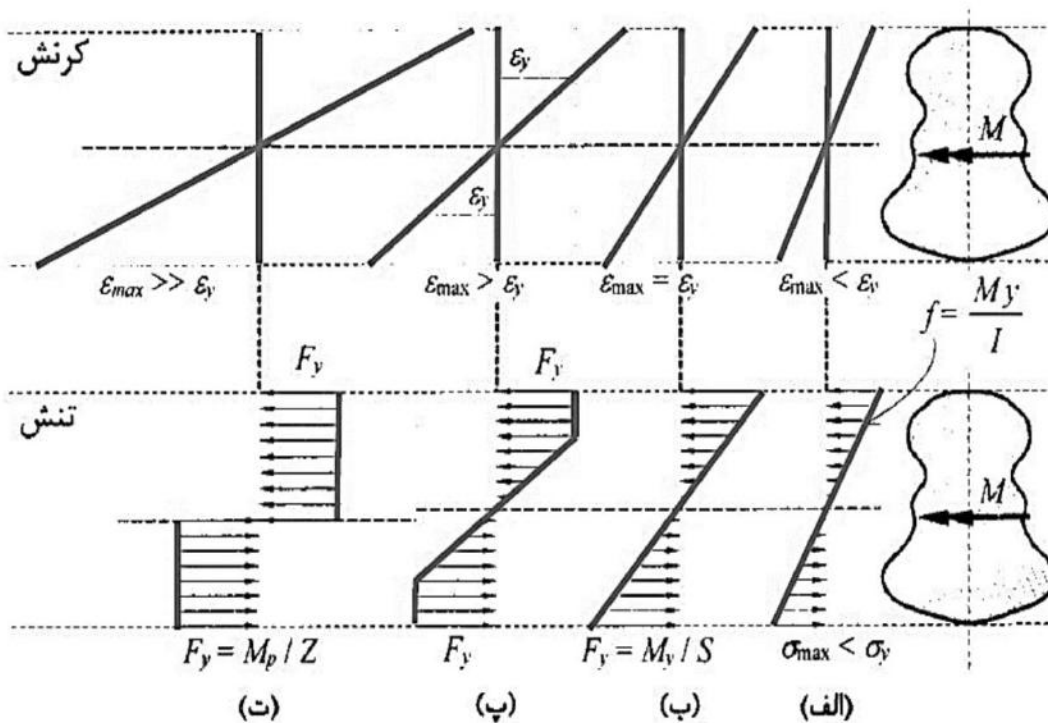
## تئوری خمش پلاستیک

### ۴-۳- تئوری خمش پلاستیک

براساس نظریه خمش تیرها در مبحث مکانیک جامدات، در تیرهای طویل که نسبت طول دهانه به عمق مقطع بزرگ‌تر از پنج است، فرضیات برنولی صادق است. براساس فرضیات برنولی، صفحات عمود بر سطح مقطع تیر، پس از خمش به صورت صفحه و عمود بر تار ختنی باقی می‌مانند. بدین ترتیب می‌توان کرنش‌های محوری ایجاد شده در ارتفاع مقطع (عمود بر محور خمش) را با تغییرات خطی بیان کرد به گونه‌ای که در میانه مقطع مقدار آن صفر باشد.

## تئوری خمش پلاستیک

در حالت حدی تمام نقاط مقطع به حد تسلیم می‌رسند. در چنین حالتی لنگر ایجاد شده در مقطع **لنگر پلاستیک** یا  $M_p$  نام دارد.

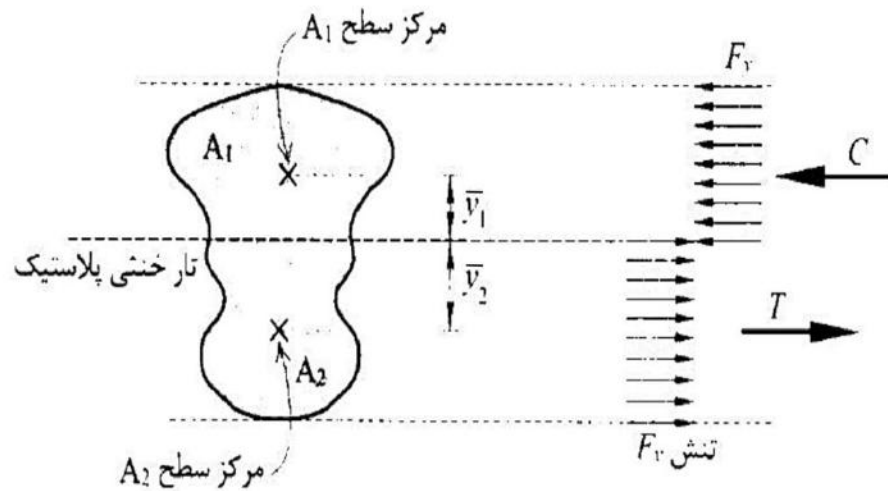


توزيع کرنش و تنش در مقطع تحت خمش

تعیین محل تار خنثی به کمک بررسی  
تعادل نیرویی مقطع (امکان تغییر تار  
خنثی در مقاطع نامتقارن با تغییر انحنای  
مقطع)

## تئوری خمش پلاستیک

برای تعیین  $M_p$  در یک مقطع؛ ابتدا تعیین محل تار خنثی



$$C = T \rightarrow F_y A_1 = F_y A_2 \rightarrow A_1 = A_2 = \frac{A}{2}$$

$$M_p = C \bar{y}_1 + T \bar{y}_2 = F_y A_1 \bar{y}_1 + F_y A_2 \bar{y}_2$$

$$M_p = Z F_y \quad Z = Q_1 + Q_2$$

$Z$  : اساس مقطع پلاستیک

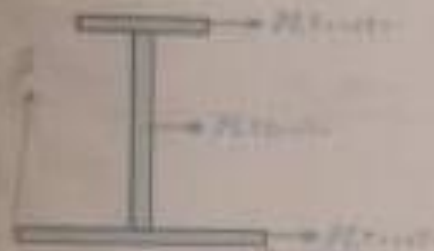
وضعیت یک مقطع در حالت خمش پلاستیک

$$k_p = \frac{M_p}{M_y} = \frac{Z}{S}$$

$k_p$  : ضریب شکل

$S$  : اساس مقطع الاستیک

جذب ۱۰ نیوتن



تمرين ۱: فاصله نار خشبي الاستيك وپلاستيك در مقطع زير، جند ۳۰۰۰ نيوتن است؟

$A_1/A_2$

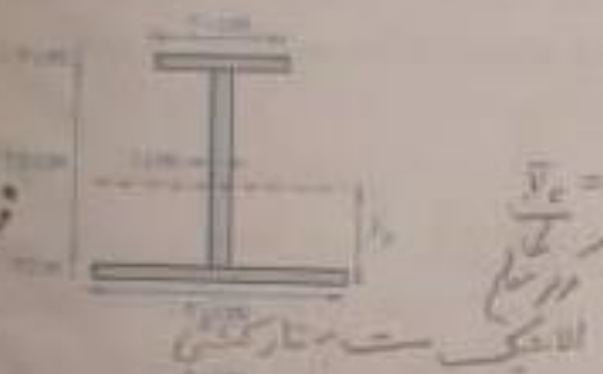
۷۶/۲۴

۷۲/۸

۷۷/۲

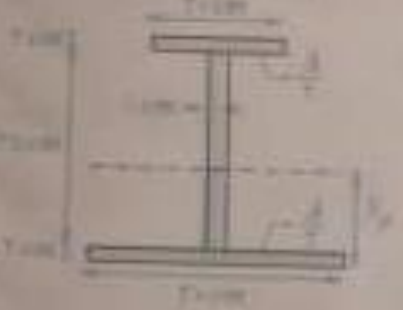
۷۳/۷

- ۱- محور خشبي در حالت الاستيك در محل مرکز سطح مقطع فرار می‌گيرد، در صورتیکه در حالت پلاستيك، محور خشبي به گونه‌ای فرار می‌گيرد که مقطع را به دو بعده با صاحت بکان نسیم می‌کند لذا در حالت الاستيك محل فرار گيری محور خشبي عبارت است از:



$$\bar{y}_e = \frac{\tau \times 2 \times 1 + 7.5 \times 1 \times 10/5 + \tau \times 1 \times 10}{\tau \times 2 + 7.5 \times 1 + \tau \times 1} = 17/45 \text{ cm}$$

محل فرار گيری محور خشبي در حالت پلاستيك عبارت است از:



$$A_1 = A_2 \Rightarrow \tau \times 2 + (7.5 + \tau - \bar{y}_p) \times 1 = (\bar{y}_p - \tau) \times 1 + \tau \times 2$$

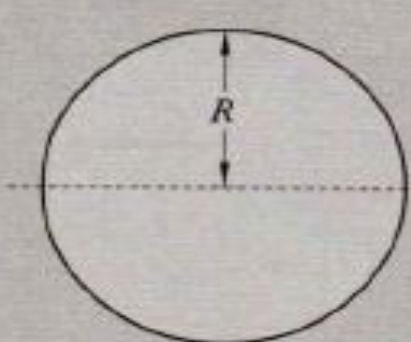
$$\Rightarrow \bar{y}_p = 45 \text{ cm}$$

$$\bar{y}_e - \bar{y}_p = 17/45 - 45/5 = 7/225 \text{ cm} = 72/225 \text{ mm}$$

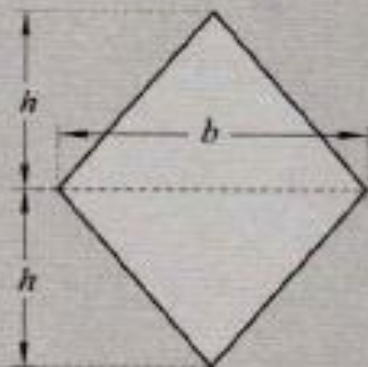
تاپراین گزینه (۲) صحیح است

**مثال ۴-۳:**

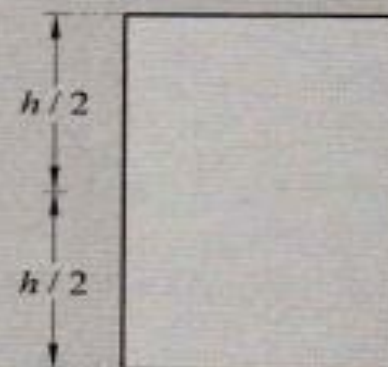
مقادیر اساس مقطع پلاستیک و ضریب شکل را برای مقاطع شکل ۴-۹ تعیین کنید.



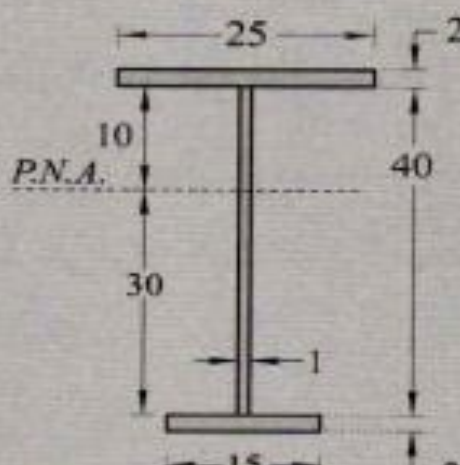
(ب)



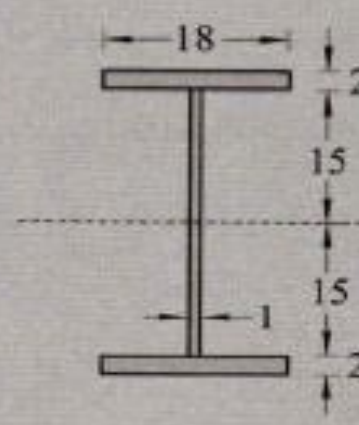
(ب)



(الف)



(ت)



(ت)

شکل ۴-۹ - مقاطع مثال ۴-۳

حل:

$$A_1 = A_r = \frac{bh}{\tau}, \quad \bar{y}_1 = \bar{y}_r = \frac{h}{\tau} \Rightarrow Z = \left( \frac{bh}{\tau} \times \frac{h}{\tau} \right) \times \tau = \frac{bh^2}{\tau}$$

الف:

$$\Rightarrow k_p = \frac{\frac{bh^2}{\tau}}{\frac{bh}{\tau}} = 1/5$$

$$A_1 = A_r = \frac{bh}{\tau}, \quad \bar{y}_1 = \bar{y}_r = \frac{h}{\tau} \Rightarrow Z = \left( \frac{bh}{\tau} \times \frac{h}{\tau} \right) \times \tau = \frac{bh^2}{\tau}$$

ب:

$$\Rightarrow k_p = \frac{\frac{bh^2}{\tau}}{\frac{bh}{\tau}} = 2$$

$$A_1 = A_r = \frac{\pi R^2}{\tau}, \quad \bar{y}_1 = \bar{y}_r = \frac{4R}{\tau\pi} \Rightarrow Z = \left( \frac{\pi R^2}{\tau} \times \frac{4R}{\tau\pi} \right) \times \tau = \frac{4}{\tau} R^2$$

جـ:

$$\Rightarrow k_p = \frac{\frac{4}{\tau} R^2}{\frac{\pi}{\tau} R^2} = \frac{16}{\tau\pi} = 1/698$$

$$A_1 = A_r = 18 \times 2 + 15 \times 1 = 51 \text{ cm}^2 \Rightarrow Z = (18 \times 2 \times 16 + 15 \times 1 \times 8/5) \times 2 = 1377 \text{ cm}^2$$

دـ:

$$I = \frac{18 \times 24^2}{12} - \frac{18 \times 2 \cdot 7^2}{12} = 2 \cdot 7 \cdot 6 \text{ cm}^4 \Rightarrow S = \frac{2 \cdot 7 \cdot 6}{18} = 1218 \text{ cm}^2$$

$$\Rightarrow k_p = \frac{1377}{1218} = 1/121$$

ث:

محل محور خشی پلاستیک به نحوی تعیین می‌شود که مقطع را به دو نیم مقطع با مساحت  $6 \cdot cm^2$  تقسیم کند که محل آن در شکل ۴-۹-ث نشان داده شده است.

$$A = 25 \times 2 + 40 \times 1 + 15 \times 2 = 120 \cdot cm^2 \Rightarrow A_1 = A_2 = 60 \cdot cm^2$$

$$\Rightarrow Q_1 = 25 \times 2 \times 11 + 1 \times 1 \times 5 = 600 \cdot cm^3 \Rightarrow Z = 600 + 1380 = 1980 \cdot cm^3$$

$$Q_2 = 15 \times 2 \times 21 + 2 \times 1 \times 15 = 1380$$

### ■ طراحی سازه‌های فولادی به روش حالات حدی (LRFD-ASD)

۲۸۶

برای تعیین اساس مقطع الاستیک مقطع باید محل محور خشی الاستیک که همان مرکز سطح مقطع است تعیین گردد. چنان‌چه  $\bar{y}$  فاصله‌ی تار خشی الاستیک از تارهای پایین مقطع باشد،

$$\bar{y} = \frac{15 \times 2 \times 1 + 40 \times 1 \times 22 + 25 \times 2 \times 42}{120} = 25/5 \cdot cm$$

در واقع در این مقطع محور خشی الاستیک و پلاستیک مقطع به اندازه  $25/5 = 6/5 \cdot cm$  با یکدیگر فاصله دارند.

$$I = 39170 \Rightarrow S = \frac{39170}{25/5} = 1536 \cdot cm^3 \Rightarrow k_p = \frac{1980}{1536} = 1/289$$

نحویت ۳ در بیک سر ورق سا مقطع احتفاضن، از ورق های  $PL$ ،  $T_{20} \times T_0$  mm، سوانحاله وار ورق  $PL$ ،  $T_{40} \times T_0$  mm برای جان استفاده شده است. در صورتی که نوع قوای  $ST$  ۳۷ (۲۹۰ MPa) باشد، مقدار لنجو پلاستیک مورد انتظار این مقطع بر حسب  $kN.m$  حدوداً بر تبر است زیرا:

$$\frac{A_{pl} \cdot kN}{A_{pl} \cdot kN} = \frac{A_{pl} \cdot kN}{A_{pl} \cdot kN} = \frac{A_{pl} \cdot kN}{A_{pl} \cdot kN}$$

با توجه به اینکه در موقع احتفاض لنجو پلاستیک برو مقطع، محور خشی مقطع به گونه‌ای قرار می‌گیرد که مقطع را به دو بخش با مساحت بیکان تقسیم نمایند، حواهی داشت.

$$z = \frac{T_{20} \times (1 \times 1 \times 1 + T_0 \times 2 \times 1)}{T_{20} \times 1 + T_0 \times 2} = 1.875 \text{ mm}$$

$$\Rightarrow z = 2f = 365 \text{ mm}$$

$$C = f = F_y \times \frac{A}{\gamma} = 290 \times \frac{(T_{20} \times T_0 \times T_0 + T_0 \times 2 \times 1)}{\gamma} = 984000 \text{ N}$$

$$M_p = C \times z = f \times z = 984000 \times 365 = 3584000 \text{ N.mm} = 3584 \text{ kN.m}$$

نحویت ۴، ۳، ۲، ۱ از صحت داده معتبرات ملی ساختمان (ویدیت ۱۳۹۷)، مطلوبت تسلیع مورد نظر برای مقطع ساخته شده از ورق، با سرب عدد ۱/۱۵ در مقدار مقاومت شبه محاسباتی بدست می‌آید. مباراک در این سوال داریم:

$$M_{p_s} = 1/15 M_p = 1/15 \times 3584 = 238.9 \text{ kN.m}$$

لنجو پلاستیک می‌باشد.

پاسخ این سوال (۱) صحیح است.

